

## PAPER DETAILS

TITLE: Toprak Kaynaklı Bir İsi Pompasının Farklı Soğutucu Akışkanlar için Termodinamik Analizi

AUTHORS: Recai ALKAN,Ahmet KABUL,Önder KIZILKAN

PAGES: 27-34

ORIGINAL PDF URL: <https://dergipark.org.tr/tr/download/article-file/400508>



## TOPRAK KAYNAKLI BİR ISI POMPASININ FARKLI SOĞUTUCU AKIŞKANLAR İÇİN TERMODİNAMİK ANALİZİ

Recai ALKAN<sup>1</sup>, Ahmet KABUL<sup>2</sup> ve Önder KIZILKAN<sup>3</sup>

Süleyman Demirel Üniversitesi, Teknoloji Fakültesi, Enerji Sistemleri Mühendisliği Bölümü, 32200, Isparta  
<sup>1</sup>alkanrecai@gmail.com, <sup>2</sup>ahmetkabul@sdu.edu.tr, <sup>3</sup>onderkizilkan@sdu.edu.tr

(Geliş Tarihi: 21.06.2012 Kabul Tarihi: 04.10.2012)

**Özet:** Bu çalışmada Isparta ili şartlarında mahal ısıtması için toprak kaynaklı ısı pompasının alternatif soğutucu akışkanlar için termodinamik incelemesi yapılmıştır. Bu maksatla soğutucu akışkan olarak R22, R404A, R410A, R407C, R134A ve R600 soğutucu akışkanları seçilmiş ve belirli şartlar için COP, ekserji verimi ve sistemin toplam tersinmezliği gibi performans parametreleri hesaplanmıştır. Elde edilen sonuçlara göre R600 akışkanının diğer alternatifler arasında en iyi performansa sahip olduğu tespit edilmiştir. R600 akışkanını sırasıyla R22 ve R134A takip etmektedir. Bunun dışında sistemin kondanser ve evaperatör sıcaklıklarıyla COP, ekserji verimi ve tersinmezlik gibi performans parametrelerinin değişimlerini belirlemek için parametrik çalışma yapılarak sonuçlar grafikler halinde verilmiştir.

**Anahtar Kelimeler:** Toprak Kaynaklı Isı Pompası, Enerji Analizi, Ekserji Analizi, Alternatif Soğutucu Akışkanlar

## THERMODYNAMIC ANALYSIS OF A GROUND SOURCE HEAT PUMP FOR DIFFERENT REFRIGERANTS

**Abstract:** In this study, thermodynamic analysis of heat pump system for residential heating is analyzed for alternative refrigerants for Isparta conditions. For this aim, the refrigerants are selected to be R22, R404A, R410A, R407C, R134A and R600. Using the thermodynamic properties of these refrigerants, performance parameters of the system such as COP, exergy efficiency and irreversibility rates are calculated. From the results the best refrigerant is found to be R600, followed by R22 and R134A. Additionally, a parametric study is carried out to determine how COP, exergy efficiency and irreversibility rate of the system vary with different condenser and evaporator temperatures.

**Keywords:** Ground Source Heat Pump, Energy Analysis, Exergy Analysis, Alternative Refrigerants

### SEMBOLLER

COP	Performans katsayısı
COP <sub>carnot</sub>	Carnot performans katsayısı
c <sub>p</sub>	Özgül ısı [kJ/kgK]
É	Enerji [kW]
Ex	Ekserji [kW]
Ex <sub>yokolan</sub>	Tersinmezlik [kW]
ε	Özgül ekserji [kJ/kg]
h	Özgül entalpi [kJ/kg]
m̄	Akışkan debisi [kg/s]
P	Basınç [kPa]
Ş	Entropi [kW/K]
s	Özgül entropi [kJ/kgK]
T	Sıcaklık [°C]
Q̄	Isı [kW]
W̄	İş [kW]
η <sub>II</sub>	İkinci kanun verimi

### Alt İndisler

C	Kompresör
E	Evaperatör
e	Evaperatör ısıtma suyu

FC	Fan-coil
GV	Genleşme valfi
K	Kondanser
k	Kondanser soğutma suyu
R	Soğutucu akışkan
T	Toplam
TID	Toprak ısı değiştiricisi
0	Çevre şartları

### GİRİŞ

Isı pompaları günümüzde yaygın olarak kullanılan cihazlar olup ısıtma amaçlı olarak yaygın şekilde kullanılmaktadır. Isı pompaları ısı kaynaklarına göre; hava, toprak, yerüstü suları, yer altı suları, güneş enerjisi, jeotermal enerji, artık ısı kaynakları gibi sınıflandırıldığı gibi, işletme çevrimlerine göre; hava-hava, hava-su, su-su kaynaklı şeklinde sınıflandırılmaktadır (Coşkun, 2004). Isı pompalarında akışkan seçimi uygulamaya göre değişir. Freonlar (R12, R22, R502 gibi) piyasada kullanılan soğutucu akışkanların en büyük bölümünü oluşturur. Ozon krizi, soğutucu akışkanlar için yeni arayışlar gerektirmiştir. Çünkü araştırmalara göre ozon tabakasının incelenmesinin en önemli sebebi atmosferdeki klor ve brom miktarlarının artmasıdır; bu zararlı

maddeleri ihtiva eden CFC'ler atmosferde sera etkisine ve yeryüzünün ısınmasına katkıda bulunmaktadır (Arcaklıoğlu ve Erişen, 2002).

Geçtiğimiz 20 yıl içinde ozon tabakasını delme potansiyeli (ODP) yüksek gazların kullanımı kademeli olarak azaltılmıştır. Gelecek yıllarda ise ozon tabakasına zarar vermemesine rağmen, küresel ısınma potansiyelleri (GWP) yüksek olan, birçok gazın da kullanımının kısıtlanması beklenmektedir. Bu durumda, ısı pompası gibi, çok büyük miktarlarda soğutucu akışkan içeren sistemlere alternatif bir akışkan bulunması gerekmektedir (Özgür ve Bayraklı, 2010; Onat vd, 2007). Uluslararası Montreal Protokolü ile klor ve brom içeren soğutucu akışkanlar da dahil olmak üzere ozon tabakasına etki eden bileşenlerin üretimi kontrol altına alınmıştır. CFC tipi (R11, R12, R113 ve R114 gibi) soğutucu akışkanlarının üretimi 1996 tarihinde tamamen durdurulmuştur. HCFC (hidrokloroflorokarbon) tipi soğutucu akışkanlardan R22 üretimi 1996 tarihli üretim seviyesinde sabit tutulmuştur. Bu akışkanın üretiminin 2020 tarihinde %0.5 seviyelerine indirilmesi ve 2030 tarihinde de tamamen durdurulması öngörmüştür (Çomaklı vd, 2007; Onat vd, 2007).

Literatürde ısı pompasıyla ilgili yapılan çalışmaların bakıldığından ısı pompası üzerine yapılmış farklı çalışmalar mevcuttur. Koyun vd. (2011), Antalya ili için bir otelde sıcak su ihtiyacının sudan suya ısı pompasının kullanımıyla sağlanmasını incelemiştir. İSİ pompaının kışın çalıştığı kabul edilerek tüm veriler buna göre alınmıştır. Sistem için önce ekserji hesapları yapılmış ardından sisteme her bir ünitenin ekserji kayipları ayrı ayrı hesaplamışlardır. Hesaplara göre en fazla ekserji kaybı kondanser ve genleşme valfinde görülmüştür.

İnalli vd. Ulusal İklimlendirme Kongresi ve Fuarı-İklim 2011 (2007), toprak ısı değiştiricisi derinliğinin sistem performansı üzerindeki etkisini deneyel olarak incelemiştir. Isıtma mevsimi boyunca yapılan deneylerde, düşey tip tekli U-borulu toprak ısı değiştiricili sistemin ısıtma etkinlik katsayısı değerleri 30, 60 ve 90 m derinlikleri için sırasıyla 1.93, 2.37 ve 3.03 olarak hesaplamışlardır.

Çomaklı vd. (2007), Erzurum ili için, zeotropik gaz karışımı kullanılan ısı pompalarında enerji ve ekserji verimlerinin araştırılmasıyla ilgi projede, soğutucu akışkanlarla ilgili araştırma yapmışlardır. Kullanılması sınırlı R22 soğutucu akışkanı yerine alternatif olan akışkanların (R134A, R407C, R404A) kullanımının artırıp ısı pompası sistemlerindeki performanslarını modellemiştir.

Başkal (2011), dikey tip toprak kaynaklı ısı pompası kullanılarak elde edilen enerjinin duvardan ısıtma ve soğutma sistemindeki etkinliği incelemiştir. R410A akışkanı kullanılan ısı pompası cihazı ısıtma konumunda çalışırken ısıtma etkinlik katsayısı (COP) değerini 3.88 bulmuştur. Cihazı soğutma konumunda çalışırken soğutma etkinlik katsayısı değerini 5.15 bulmuştur.

Özgür ve Bayraklı (2010), CO<sub>2</sub> kullanan ısı pompası sistemini teorik olarak modellemiştir. İSİ pompası sisteminin ekserji verimini tespit etmişler ve gaz soğutucudan çıkan CO<sub>2</sub>'in sıcaklığının sistemin ekserji verimine olan etkisi araştırılmıştır.

Coşkun (2004), yapmış olduğu çalışmasında farklı soğutucu akışkanlar için hava-su kaynaklı mekanik buhar sıkıştırmalı ısı pompası sisteminin performans özelliklerini incelemiştir. Çalışmasında farklı soğutucu akışkanlar için sistemin değişen özelliklerine karşılık performansını incelemiştir.

Günümüzde ısı pompalarında sıkılıkla kullanılan R22 soğutucu akışkanına alternatif olarak, HFC (hidroflorokarbon) tipi soğutucu akışkanlardan R404A, R407C, R410A ve R417A ve HC (hidrokarbon) tipi soğutucu akışkanlardan R290 ve R1270 gibi soğutucu akışkanlar kullanılmaktadır. Daha önce yapılan çalışmalarla alternatif akışkanların bazıları karşılaştırılmış, fakat alternatif olabilecek bir diğer akışkan olan R600 akışkanının karşılaştırılması yapılmamıştır. Bu çalışmada, toprak kaynaklı bir ısı pompası sisteminin farklı evaporatör ve kondanser sıcaklıklarını için R22 ve alternatifleri olan R404A, R410A, R407C, R134A ve R600 gibi soğutucu akışkanlar karşılaştırılarak termodynamik açıdan incelenmiştir. Seçilen alternatif akışkanlar için sistemin birinci ve ikinci kanun analizleri yapılarak verim değerleri karşılaştırılmış olarak verilmiştir.

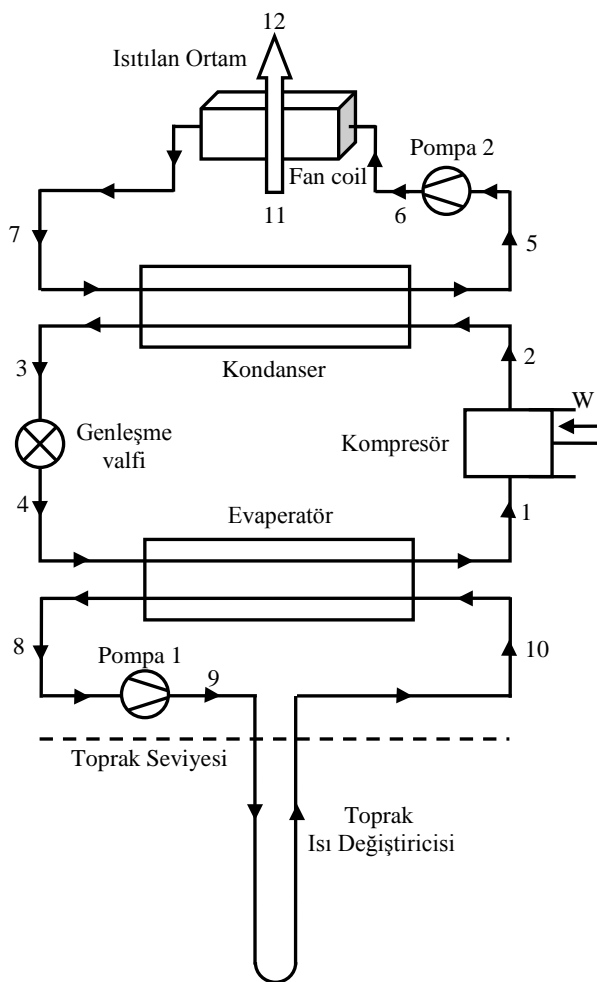
## TOPRAK KAYNAKLı ISI POMPASI

Toprak kaynaklı ısı pompasının kullanıldığı sistemlerin amacı, topraktaki düşük sıcaklığı bir ortamdan ısı çekerek ev gibi yüksek sıcaklığı bir ortama ısı aktarmaktır. Bu çalışmada incelenen toprak kaynaklı ısı pompasının şematik gösterimi Şekil 1'de verilmiştir. Sistem basit bir buhar sıkıştırmalı mekanik ısı pompası olup, evaperatörün çekmesi gereken ısı toprak altına döşenen borular vasıtıyla topraktan sağlanmaktadır. Ayrıca kondanser tarafından iç ortama aktarılan ısı, fan-coil ile ısıtlacak ortama aktarılmaktadır. Toprak tarafında kullanılan akışkan, % 30'luk etilen glikol-su karışımı, fan-coilde kullanılan akışkan sudur.

Analizi yapılan sistem için yapılan hesaplamalarda aşağıda belirtilen kabuller yapılmıştır:

- Kompresördeki sıkıştırma adyabatik olarak gerçekleşmektedir.
- İSİ pompası sisteminde dolaşan soğutucu akışkan debisi sabittir.
- Evaperatörde toprak kaynağından çekilen ısının tamamı kondanserden soğutma suyuna atılmaktadır.
- Dış ortamdan evaperatöre ve kondansere ısı transferi yoktur.
- Kompresör ve boru hatlarındaki basınç kayipları ihmal edilmiştir.
- Oda sıcaklığı 22 °C'dir.
- Aşırı soğutma sıcaklığı 3 °C'dir.
- Aşırı kızdırma sıcaklığı 3°C'dir.

- Kondanserden çıkan soğutma suyu sıcaklığı  $45^{\circ}\text{C}$ 'dir.
- Toprak sıcaklığı  $10^{\circ}\text{C}$ 'dir.
- Fan-coile havanın giriş sıcaklığı  $18^{\circ}\text{C}$ 'dir.



Şekil 1. Toprak kaynaklı ısı pompası sisteminin şematik gösterimi

## TERMODİNAMİK ANALİZ

Kütlenin korunumu ilkesi bir hal değişimi boyunca sistemde olan net kütle geçişinin, aynı hal değişiminde sistemde meydana gelen toplam kütle değişimine eşit olduğunu ifade eder. Genel kütle dengesi aşağıda verilmiştir (Çengel ve Boles, 2007).

$$\sum \dot{m}_{\text{giren}} = \sum \dot{m}_{\text{çıkan}} \quad (1)$$

Termodynamikin birinci kanunu enerjinin korunumu ilkesinin bir ifadesidir. Herhangi bir hal değişimine uğrayan bir sistemin genel enerji dengesi (Çengel ve Boles, 2007; Hepbaşlı ve Kalıncı, 2009);

$$\dot{Q} + \sum (\dot{m}h)_{\text{giren}} = \dot{W} + \sum (\dot{m}h)_{\text{çıkan}} \quad (2)$$

Sistemin ekserji analizi için kinetik, potansiyel ve kimyasal ekserjiler ihmali edilerek aşağıdaki ifade kullanılır (Bejan, 1997; 2002):

$$\dot{Ex}_Q - \dot{Ex}_W = \sum (\dot{m}\epsilon)_{\text{çıkan}} - \sum (\dot{m}\epsilon)_{\text{giren}} + T_0 \dot{S}_{\text{üretim}} \quad (3)$$

Burada;

$$\dot{Ex}_{\text{yokolan}} = T_0 \dot{S}_{\text{üretim}} \quad (4)$$

şeklindedir. Denklem (3)'te  $\dot{Ex}_Q$ , ısının ekserjisi,  $\dot{Ex}_W$ , işin ekserjisi ve  $\epsilon$  ise termomekaniksel ekserji olarak da ifade edilen akış ekserjisidir. Bu ifadeler, aşağıdaki denklemlerde verilmiştir (Çengel ve Boles, 2007; Akpinar ve Hepbaşlı 2007).

$$\dot{Ex}_Q = \dot{Q} \left( \frac{T-T_0}{T} \right) \quad (5)$$

$$\dot{Ex}_W = \dot{W} \quad (6)$$

$$\epsilon = (h - T_0 s) - (h_0 - T_0 s_0) \quad (7)$$

Burada 0 indisi referans şartları ifade etmektedir. Isı pompasının verimi, etkinlik katsayısı ile ifade edilir:

$$COP = \frac{\dot{Q}_K}{\dot{W}_C} \quad (8)$$

Isı pompası için ekserji verimi Denklem (9) ile hesaplanır (Çengel ve Boles, 2007; Dincer ve Rosen, 2007).

$$\eta_{II} = \frac{\text{Geri kazanılan ekserji}}{\text{Sağlanan ekserji}} \quad (9)$$

Yukarıda denklemler, incelenen toprak kaynaklı ısı pompası sisteme uygulanmış ve her bir sistem elemanı için kütle, enerji, ekserji ve entropi denge denklemleri çıkartılmıştır (Tablo 1). Ayrıca Tablo 1'de tüm sistem elemanlarının her birisi için ekserji verimi denklemleri de verilmiştir.

## SONUÇLAR

Toprak kaynaklı ısı pompasının farklı akışkanlar için performans analizi R22, R404A, R410A, R407C, R134A ve R600 soğutucu akışkanları için yapılmıştır. Isı pompası sisteminde evaporatör sıcaklığı  $1^{\circ}\text{C}$ , kondanser sıcaklığı  $57^{\circ}\text{C}$ , ısıtma kapasitesi  $5\text{ kW}$ , kompresör izentropik verimi % 80, kompresör elektrik verimi % 80 ve kompresör mekanik verimi % 75 olarak kabul edilmiştir. Toprak ısı değiştiricisinde daha önce belirtildiği gibi % 30'luk etilen glikol-su karışımı kullanılmıştır. % 30'luk etilen glikol-su karışımı için entalpi ve entropi değerleri için aşağıdaki formüller türetilerek hesaplamalarda kullanılmıştır. Formüllerdeki katsayılar ise Tablo 2'de verilmiştir.

$$h = a_1 T^6 + a_2 T^5 + a_3 T^4 + a_4 T^3 + a_5 T^2 + a_6 T + a_7 \quad (10)$$

$$s = b_1 T^6 + b_2 T^5 + b_3 T^4 + b_4 T^3 + b_5 T^2 + b_6 T + b_7 \quad (11)$$

Tablo 2. % 30'luk etilen glikol-su karışımının entalpi ve entropi formülleri için katsayılar

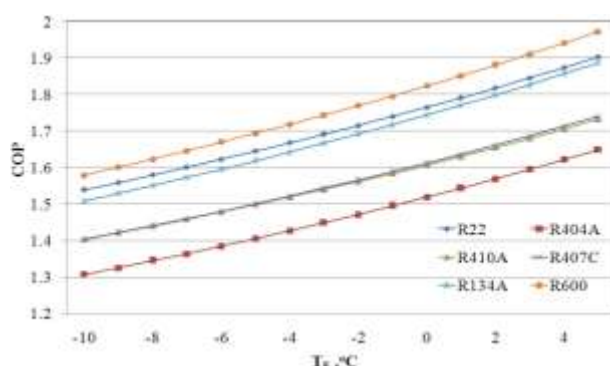
n	a <sub>n</sub>	b <sub>n</sub>
1	$-3.155825257 \times 10^{-13}$	$7.951937694 \times 10^{-17}$
2	$8.411284493 \times 10^{-11}$	$3.060355231 \times 10^{-13}$
3	$-1.23751435 \times 10^{-8}$	$-1.430520052 \times 10^{-10}$
4	$-5.699992362 \times 10^{-7}$	$4.428540244 \times 10^{-8}$
5	$1.530229428 \times 10^{-3}$	$-1.896347287 \times 10^{-5}$
6	3.658014478	$1.339319262 \times 10^{-2}$
7	53.10948704	0.1994438023

**Tablo 1.** Toprak kaynaklı ısı pompası sisteminin denge eşitlikleri

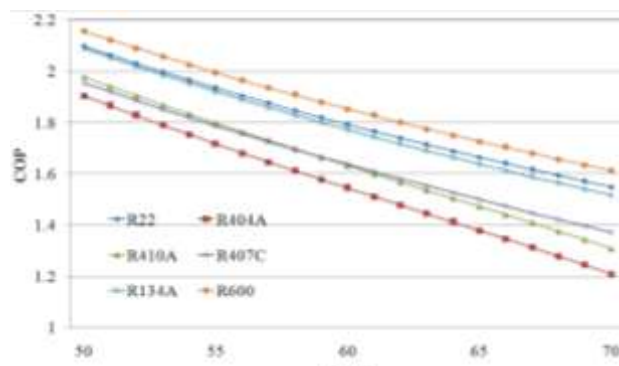
Sistem Elemanları	Kütle Denge Eşitlikleri	Enerji Denge Eşitlikleri	Ekserji denge denklemleri	Entropi denge
Kompresör	$\dot{m}_1 = \dot{m}_2 = \dot{m}_r$	$\dot{W}_C = \dot{m}_r(h_2 - h_1)/\eta_C$	$\dot{E}x_1 + \dot{W}_C = \dot{E}x_2 + \dot{E}x_{yokolan,C}$ $\dot{E}x_{yokolan,C} = \dot{m}_r(\varepsilon_1 - \varepsilon_2) + \dot{W}_C$	$\dot{S}_1 + \dot{W}_C + \dot{S}_{üretim} = \dot{S}_2$ $\dot{E}x_{yokolan,C} = \dot{m}_r T_0 (s_2 - s_1)$
Kondanser	$\dot{m}_2 = \dot{m}_3 = \dot{m}_r$ $\dot{m}_5 = \dot{m}_7 = \dot{m}_k$	$\dot{Q}_K = \dot{m}_r(h_2 - h_3)$ $\dot{Q}_K = \dot{m}_r(h_5 - h_7)$ $\dot{Q}_K = \dot{m}_k c_{p,su}(T_5 - T_7)$	$\dot{E}x_2 + \dot{E}x_7 = \dot{E}x_3 + \dot{E}x_5 + \dot{E}x_{yokolan,K}$ $\dot{E}x_{yokolan,K} = \dot{m}_r(\varepsilon_2 - \varepsilon_3) + \dot{m}_k(\varepsilon_7 - \varepsilon_5)$	$\dot{S}_2 + \dot{S}_7 + \dot{S}_{üretim} = \dot{S}_3 + \dot{S}_5$ $\dot{E}x_{yokolan,K} = T_0 [\dot{m}_r(s_3 - s_2) + \dot{m}_k(s_5 - s_7)]$
Genleşme valfi	$\dot{m}_3 = \dot{m}_4 = \dot{m}_r$	$h_3 = h_4$	$\dot{E}x_3 = \dot{E}x_4 + \dot{E}x_{yokolan,GV}$ $\dot{E}x_{yokolan,GV} = \dot{m}_r(\varepsilon_3 - \varepsilon_4)$	$\dot{S}_3 + \dot{S}_{üretim} = \dot{S}_4$ $\dot{E}x_{yokolan,GV} = \dot{m}_r T_0 (s_4 - s_3)$
Evaperatör	$\dot{m}_4 = \dot{m}_1 = \dot{m}_r$ $\dot{m}_8 = \dot{m}_{10} = \dot{m}_k$	$\dot{Q}_E = \dot{m}_r(h_1 - h_4)$ $\dot{Q}_E = \dot{m}_e(h_{10} - h_8)$ $\dot{Q}_E = \dot{m}_e c_{p,EG}(T_{10} - T_8)$	$\dot{E}x_4 + \dot{E}x_{10} = \dot{E}x_1 + \dot{E}x_8 + \dot{E}x_{yokolan,E}$ $\dot{E}x_{yokolan,E} = \dot{m}_r(\varepsilon_4 - \varepsilon_1) + \dot{m}_e(\varepsilon_{10} - \varepsilon_8)$	$\dot{S}_4 + \dot{S}_{10} + \dot{S}_{üretim} = \dot{S}_1 + \dot{S}_8$ $\dot{E}x_{yokolan,E} = T_0 [\dot{m}_r(s_1 - s_4) + \dot{m}_e(s_8 - s_{10})]$
Toprak ısı değiştiricisi	$\dot{m}_9 = \dot{m}_{10} = \dot{m}_e$	$\dot{Q}_{Toprak} = \dot{m}_e(h_{10} - h_9)$ $\dot{Q}_{Toprak} = \dot{m}_e c_{p,EG}(T_{10} - T_9)$	$\dot{E}x_9 + \dot{E}Q_{toprak} = \dot{E}x_{10} + \dot{E}x_{yokolan,TID}$ $\dot{E}x_{yokolan,TID} = \dot{m}_e(\varepsilon_9 - \varepsilon_{10}) + \dot{Q}_{toprak} \left(1 - \frac{T_0}{T_{toprak}}\right)$	$\dot{S}_9 + \frac{\dot{Q}_{toprak}}{T_{toprak}} + \dot{S}_{üretim} = \dot{S}_{10}$ $\dot{E}x_{yokolan,TID} = T_0 [\dot{m}_e(s_9 - s_{10}) + \dot{Q}_{toprak} \left(1 - \frac{T_0}{T_{toprak}}\right)]$
Pompa 1	$\dot{m}_8 = \dot{m}_9 = \dot{m}_e$	$\dot{W}_{pompa1} = \dot{m}_e(h_9 - h_8)$ $\dot{W}_{pompa1} = \dot{m}_e c_{p,EG}(T_9 - T_8)$	$\dot{E}x_8 + \dot{W}_{pompa1} = \dot{E}x_9 + \dot{E}x_{yokolan,pompa,1}$ $\dot{E}x_{yokolan,pompa,1} = \dot{m}_e(\varepsilon_8 - \varepsilon_9) + \dot{W}_{pompa1}$	$\dot{S}_8 + \dot{W}_{pompa1} + \dot{S}_{üretim} = \dot{S}_9$ $\dot{E}x_{yokolan,pompa,1} = \dot{m}_e T_0 (s_9 - s_8)$
Fan-coil	$\dot{m}_{11} = \dot{m}_{12} = \dot{m}_h$ $\dot{m}_6 = \dot{m}_7 = \dot{m}_k$	$\dot{Q}_{FC} = \dot{m}_k(h_6 - h_7)$ $\dot{Q}_{FC} = \dot{m}_h c_{p,h}(T_{12} - T_{11})$	$\dot{E}x_6 + \dot{E}x_{11} = \dot{E}x_7 + \dot{E}x_{12} + \dot{E}x_{yokolan,FC}$ $\dot{E}x_{yokolan,FC} = \dot{m}_k(\varepsilon_6 - \varepsilon_7) + \dot{m}_h(\varepsilon_{11} - \varepsilon_{12})$	$\dot{S}_6 + \dot{S}_{11} + \dot{S}_{üretim} = \dot{S}_{12}$ $\dot{E}x_{yokolan,FC} = T_0 [\dot{m}_k(s_7 - s_6) + \dot{m}_h(s_{12} - s_{11})]$
Fan	$\dot{m}_{11} = \dot{m}_{12} = \dot{m}_h$	$\dot{W}_{Fan} = \dot{m}_h c_{p,h}(T_{12} - T_{11})$	$\dot{E}x_{11} + \dot{W}_{Fan} = \dot{E}x_{12} + \dot{E}x_{yokolan,Fan}$ $\dot{E}x_{yokolan,Fan} = \dot{m}_h(\varepsilon_{11} - \varepsilon_{12}) + \dot{W}_{Fan}$	$\dot{S}_{11} + \dot{W}_{Fan} + \dot{S}_{üretim} = \dot{S}_{12}$ $\dot{E}x_{yokolan,Fan} = \dot{m}_h T_0 (s_{12} - s_{11})$
Pompa 2	$\dot{m}_5 = \dot{m}_6 = \dot{m}_k$	$\dot{W}_{pompa2} = \dot{m}_k(h_6 - h_5)$ $\dot{W}_{pompa2} = \dot{m}_k c_{p,su}(T_6 - T_5)$	$\dot{E}x_5 + \dot{W}_{pompa2} = \dot{E}x_6 + \dot{E}x_{yokolan,pompa,2}$ $\dot{E}x_{yokolan,pompa,2} = \dot{m}_k(\varepsilon_5 - \varepsilon_6) + \dot{W}_{pompa2}$	$\dot{S}_5 + \dot{W}_{pompa2} + \dot{S}_{üretim} = \dot{S}_6$ $\dot{E}x_{yokolan,pompa,2} = \dot{m}_k T_0 (s_6 - s_5)$

Yapılan analizlerde EES (Engineering Equation Solver) programından faydalanyılmıştır. Program, verilen çalışma şartlarındaki sistemin akışkan özelliklerini kendi veritabanından otomatik olarak okuyabilmektedir. Altı farklı akışkan için yapılan bu çalışmada, her bir akışkan için çalışma basınç ve sıcaklığa karşılık gelen, entalpi ve entropi değerleri EES programında elde edilmiş olup sistemin sıcaklık, basınç, entalpi, entropi, akışkan debisi ve ekserji değerleri Tablo 3 ve 4'te gösterilmiştir. Tablo 5'te ise Toprak kaynaklı ısı pompası sisteminin her bir elemanının farklı soğutucu akışkanlar için hesaplanan ekserji verimi, tersinmeziği ve sistemin COP değeri verilmiştir. Tablodan da görüleceği üzere, aynı şartlarda farklı akışkanların kullanılması halinde sistemin en iyi COP değeri R600 akışkanı kullanılması halinde elde edilmiştir. R600 akışkanını, sırasıyla R22 ve R134A akışkanı takip etmektedir. Ayrıca sistem elemanları incelendiğinde, tüm akışkanlar için en büyük tersinmeziğin değeri kompresörde çıkmıştır. Toplam sistem tersinmeziği incelendiğinde ise, R404A akışkanı ile çalışan sistem tersinmeziği 3.011 kW ile çok kayba sahiptir. En az kayıp ise 2.470 kW ile R600 akışkanı kullanılan sistemde görülmektedir.

Toprak kaynaklı ısı pompası sisteminde, altı farklı akışkan için evaperatör sıcaklığına göre performans katsayısının (COP) değişimi Şekil 2 ve 3'te verilmiştir. Şekilden görüleceği üzere en yüksek performans katsayıısı değeri R600 ve en düşük ise R404A soğutucu akışkanı kullanıldığında ortaya çıkmaktadır. Ayrıca evaperatör sıcaklığı yükseldikçe COP değeri tüm akışkanlar için artmaktadır ve kondanser sıcaklığı ile de azalmaktadır.

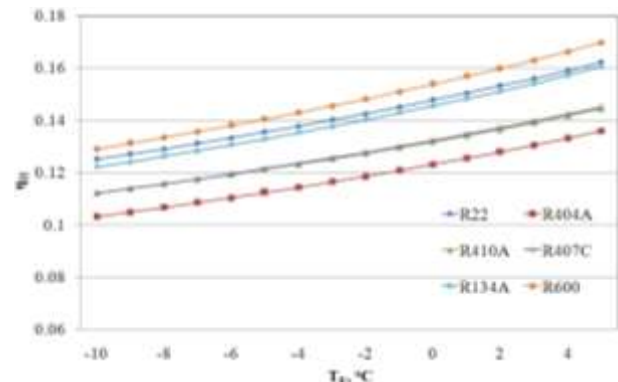


Şekil 2. Evaperatör sıcaklığı ile Performans Katsayısının (COP) değişimi (TK=60 °C)

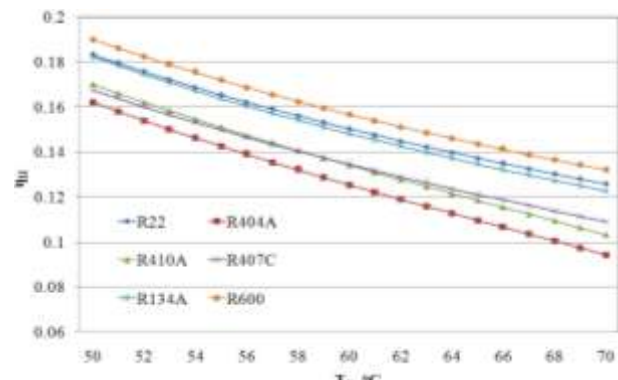


Şekil 3. Kondanser sıcaklığı ile Performans Katsayısının (COP) değişimi (TE = 1 °C)

Evaperatör ve kondanser sıcaklıklarını ile ikinci kanun veriminin değişimi de Şekil 4 ve 5'te verilmiştir. Şekil 4'te görüleceği üzere evaperatör sıcaklığının artmasıyla sistemin ikinci kanun verimi de artmaktadır. Şekil 5'te ise kondanser sıcaklığının artmasıyla ikinci kanun verimi azalmaktadır.

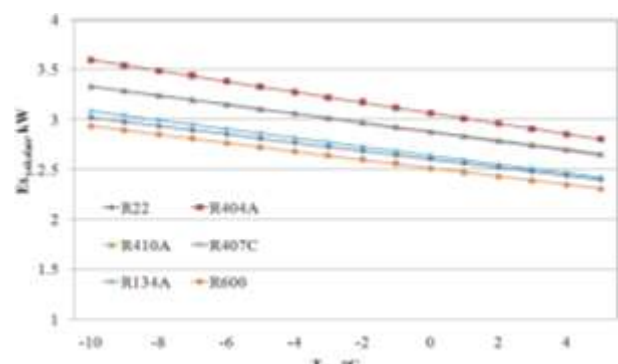


Şekil 4. Evaperatör sıcaklığı ile ikinci kanun veriminin değişimi (TK = 60 °C)



Şekil 5. Kondanser sıcaklığı ile ikinci kanun veriminin değişimi (TE = 1 °C)

Şekil 6 ve 7'te ise yine evaperatör ve kondanser sıcaklıklarının değişimi ile toplam tersinmeziğin değerlerinin değişimi görülmektedir. Tersinmeziğin diyagramından görüleceği üzere, R404A soğutucu akışkanıyla çalışan sistem en yüksek tersinmeziğe, R600 akışkanıyla çalışan sistem en düşük tersinmeziğe sahiptir. Analizi yapılan akışkanlar için evaperatör sıcaklığı arttıkça, toplam tersinmeziğin miktarının azaldığı tespit edilmiştir (Şekil 6). Şekil 7'de ise kondanser sıcaklığının artmasıyla, toplam tersinmeziğin miktarının arttığı görülmektedir.



Şekil 6. Evaperatör sıcaklığı ile toplam tersinmeziğin değişimi (TK = 60 °C)

**Tablo 3.** R22, R404A ve R410A soğutucu akışkanları için sistemin termodinamik özelikleri

Referans noktası	P (kPa)			T (°C)			h (kJ/kg)			s (kJ/kg.K)			R22
	R22	R404A	R410A	R22	R404A	R410A	R22	R404A	R410A	R22	R404A	R410A	
1	514.5	623.4	821.7	4	4	4	407.6	221.7	285	1.757	0.825	1.059	0.027
2	2428	2872	3823	98.1	75.1	93.3	457.5	259.3	338.9	1.784	0.846	1.088	0.027
3	2428	2886	3830	57	57	57	273.2	143.5	161.6	1.237	0.500	0.564	0.027
4	514.5	634.1	824.2	1	1	1	273.2	143.5	161.6	1.267	0.538	0.608	0.027
5	101.3	101.3	101.3	45	45	45	188.5	188.5	188.5	0.639	0.639	0.639	0.18
6	101.3	101.3	101.3	45	45	45	188.5	188.5	188.5	0.639	0.639	0.639	0.18
7	101.3	101.3	101.3	38.3	38.4	38.4	160.7	160.7	160.7	0.550	0.550	0.550	0.18
8	101.3	101.3	101.3	6.2	6.2	6.2	75.8	75.85	75.85	0.282	0.282	0.282	0.5
9	101.3	101.3	101.3	6.2	6.2	6.2	75.9	75.88	75.88	0.282	0.282	0.282	0.5
10	101.3	101.3	101.3	8.1	8	8.1	83.1	82.6	82.81	0.308	0.306	0.307	0.5
11	101.3	101.3	101.3	18	18	18	291.4	291.4	291.4	6.836	6.836	6.836	0.441
12	101.3	101.3	101.3	29.2	29.3	29.3	302.7	302.7	302.7	6.875	6.875	6.875	0.441
0 - R	101.3			10			419.5	237.2	308.7	1.948	1.025	1.368	-
0 - su	101.3			10			42.1			0.151			-
0-hava	101.3			10			283.3			6.808			-
0-EG	101.3			10			89.8			0.332			-

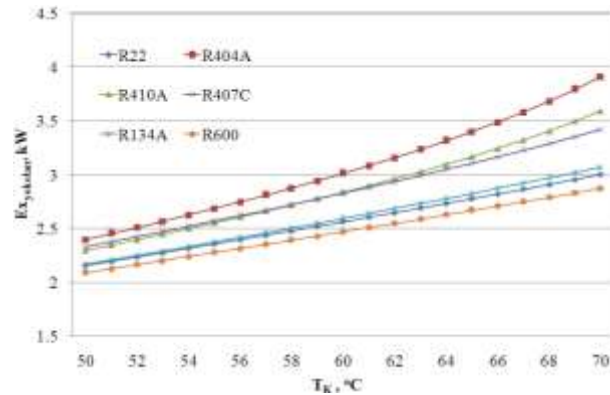
32

**Tablo 4.** R407C, R134A ve R600 soğutucu akışkanları için sistemin termodinamik özelikleri

Referans noktası	P (kPa)			T (°C)			h (kJ/kg)			s (kJ/kgK)			m
	R407C	R134A	R600	R407C	R134A	R600	R407C	R134A	R600	R407C	R134A	R600	
1	471.4	303.8	107.3	4	4	4	269.5	253.7	590.9	1.023	0.941	2.426	0.028 0
2	2518	1683	639.3	89.49	76.07	64.54	322.8	299	678.9	1.053	0.967	2.479	0.028 0
3	2745	1683	639.3	57	57	57	147	134.5	340.5	0.524	0.474	1.463	0.028 0
4	585.2	303.8	107.3	1	1	1	147	134.5	340.5	0.551	0.506	1.513	0.028 0
5	101.3	101.3	101.3	45	45	45	188.5	188.5	188.5	0.639	0.639	0.639	0.18 0
6	101.3	101.3	101.3	45.01	45.01	45.01	188.5	188.5	188.5	0.639	0.639	0.639	0.18 0
7	101.3	101.3	101.3	38.36	38.36	38.36	160.7	160.7	160.7	0.550	0.550	0.550	0.18 0
8	101.3	101.3	101.3	6.2	6.2	6.2	75.85	75.85	75.85	0.282	0.282	0.282	0.5
9	101.3	101.3	101.3	6.21	6.21	6.21	75.9	75.9	75.9	0.282	0.282	0.282	0.5
10	101.3	101.3	101.3	8.096	8.172	8.212	82.8	83.1	83.3	0.307	0.308	0.308	0.5
11	101.3	101.3	101.3	18	18	18	291.4	291.4	291.4	6.836	6.836	6.836	0.441 0
12	101.3	101.3	101.3	29.27	29.27	29.27	302.7	302.7	302.7	6.875	6.875	6.875	0.441 0
0 - r	101.3			10			280.1	263.8	601.3	1.203	1.062	2.471	-
0 - su	101.3			10			42.09			0.151			-
0- hava	101.3			10			283.3			6.808			-
0-EG	101.3			10			89.84			0.3315			-

**Tablo 5.** Farklı soğutucu akışkanları için her bir sistem elemanın ekserji verimi, tersinmezliği ve sistemin COP değeri ( $T_K = 57^\circ\text{C}$ ,  $T_E = 1^\circ\text{C}$ )

Soğutucu akışkanı	Sistem elemanı	Ekserji verimi	Tersinmezlik (kW)	COP
R22	Kompresör	0.507	1.113	
	Genleşme valfi	0.847	0.229	
	Kondanser	0.631	0.294	
	Evaperatör	0.307	0.083	
	Pompa 1	0.001	0.250	
	Pompa 2	0.003	0.282	
	Fan-coil	0.456	0.274	
	TID	0.230	0.037	
	Toplam sistem	0.150	2.562	1.791
R404A	Kompresör	0.502	1.349	
	Genleşme valfi	0.806	0.462	
	Kondanser	0.656	0.264	
	Evaperatör	0.268	0.095	
	Pompa 1	0.001	0.250	
	Pompa 2	0.003	0.282	
	Fan-coil	0.456	0.274	
	TID	0.269	0.035	
	Toplam sistem	0.125	3.011	1.543
R410A	Kompresör	0.506	1.250	
	Genleşme valfi	0.844	0.356	
	Kondanser	0.621	0.307	
	Evaperatör	0.305	0.081	
	Pompa 1	0.001	0.250	
	Pompa 2	0.003	0.282	
	Fan-coil	0.456	0.274	
	TID	0.253	0.035	
	Toplam sistem	0.134	2.836	1.631
R407C	Kompresör	0.505	1.249	
	Genleşme valfi	0.867	0.224	
	Kondanser	0.680	0.237	
	Evaperatör	0.115	0.276	
	Pompa 1	0.001	0.250	
	Pompa 2	0.003	0.282	
	Fan-coil	0.456	0.274	
	TID	0.252	0.035	
	Toplam sistem	0.135	2.827	1.636
R134A	Kompresör	0.502	1.142	
	Genleşme valfi	0.761	0.269	
	Kondanser	0.660	0.259	
	Evaperatör	0.309	0.082	
	Pompa 1	0.001	0.250	
	Pompa 2	0.003	0.282	
	Fan-coil	0.456	0.274	
	TID	0.233	0.036	
	Toplam sistem	0.148	2.594	1.771
R600	Kompresör	0.498	1.087	
	Genleşme valfi	0.430	0.207	
	Kondanser	0.670	0.248	
	Evaperatör	0.305	0.085	
	Pompa 1	0.001	0.250	
	Pompa 2	0.003	0.282	
	Fan-coil	0.456	0.274	
	TID	0.223	0.037	
	Toplam sistem	0.157	2.470	1.852



**Şekil 7.** Kondanser sıcaklığı ile toplam tersinmezliğin değişimi ( $T_E = 1^\circ\text{C}$ )

Yapılan bu çalışmada, toprak kaynaklı bir ısı pompası sisteminin farklı evaperatör ve kondanser sıcaklıklarına göre; ısıtma performans katsayısı, sistemin toplam tersinmezlik miktarı ve sistemin ekserji verimi değerleri R22, R404A, R410A, R407C, R134A ve R600 gibi soğutucu akışkanlar için ayrı ayrı hesaplanarak akışkan seçimine yeni bir yaklaşım sunulmaya çalışılmıştır. Bu akışkanların COP değerleri sırasıyla; 1.79, 1.54, 1.63, 1.64, 1.77 ve 1.81 olarak elde edilmiştir. Tablo ve grafiklerde de görüldüğü gibi R22 soğutucu akışkanına alternatif olarak, COP ve ikinci kanun verimi en yüksek olan R600 soğutucu akışkanının kullanılmasının daha verimli ve faydalı olacağının ortaya çıkmıştır. Ayrıca R134A soğutucu akışkanı için elde edilen sonuçlar, R22 akışkanına yakın olduğu tespit edilmiştir. Bunun yanında evaperatör sıcaklığı arttıkça, COP ve ekserji veriminin arttığı ve buna bağlı olarak toplam tersinmezliğin azaldığı görülmüştür. Kondanser sıcaklığının artmasıyla ise COP ve ekserji veriminin azaldığı bunun yanında toplam tersinmezliğin artığı tespit edilmiştir.

## KAYNAKLAR

Akpınar, E.K., Hepbaşlı, A., 2007, A Comparative Study On Exergetic Assessment Of Two Ground Source (Geothermal) Heat Pump Systems For Residential Applications, *Building and Environment*, 42, 2004-2013.

Arcaklıoğlu, E., Erişen, A., 2002, R12, R22, R502 Soğutucu Akışkanları ve Alternatif Karışımlarının Buhar Sıkıştırmalı Soğutma Sisteminde Ekserji Analizi, *Teknoloji*, 5(3-4), 55-64.

Başkal, A., 2011, *Duvardan Isıtma ve Soğutmalı Toprak Kaynaklı İşi Pompasının Performansının İncelenmesi*, Yüksek Lisans Tezi, Yıldız Teknik Üniversitesi, 162s, İstanbul.

Bejan, A., 1997, *Advanced Engineering Thermodynamics*, John Wiley and Sons, 896p, New York.

Bejan, A., 2002, Fundamentals of Exergy Analysis, Entropy Generation Minimization, and The Generation of Flow Architecture, *International Journal of Energy Research*, 26, 545-565.

- Coşkun, S., 2004, Sürekli Rejimde Farklı Soğutucu Akişkanlar İçin Hava-Su Kaynaklı Mekanik Buhar Sıkıştırmalı Isı Pompasının Simülasyonu, *Uludağ Üni. Mühendislik-Mimarlık Fakültesi Dergisi*, 9(1), 41-51.
- Çengel, Y.A., Boles, M.A., 2007, *Mühendislik Yaklaşımıyla Termodinamik*, Güven Bilimsel Yayınevi (Beşinci Baskı), 946s, İzmir.
- Çomaklı, K., Çomaklı, Ö., Yılmaz, M., Özyurt, Ö., Erdoğan, S., Şahin, B., Bakırıcı, K., 2007, *Zeotropik Gaz Karışımıları Kullanılan Isı Pompalarında Enerji ve Ekserji Verimlerinin Araştırılması*, TÜBİTAK Araştırma Projesi Sonuç Raporu, Proje No: 105M030, 161s, Erzurum.
- Dincer, I., Rosen, M.A., 2007, *Exergy, Energy, Environment and Sustainable Development*, Elsevier Science, 472p.
- Hepbaşlı, A., Kalınçılı Y., 2009, A Review of Heat Pump Water Heating Systems, *Renewable and Sustainable Energy Reviews*, 13, 1211–1229.
- İnallı, M., Esen, H., Alli, H., 2007, *Toprak Kaynaklı Isı Pompası Sistemlerinin Çevresel ve Enerji Faydalarının Araştırılması*, TÜBİTAK Proje No: 106Y188, Elazığ.
- Koyun T., Kılıç O., Gülgüzel A., 2011, Bir Otelin Sıcak Su İhtiyacının Sudan Suya Isı Pompasıyla Desteklenmesi ve Sistemin Termoekonominik Analizi, *İklim 2011-Uluslararası İklimlendirme Kongresi ve Fuarı*, Antalya.
- Onat, A., Bulgurcu, H., Mollahüseyinoğlu, Ö., 2007, Farklı Buharlaşma Sıcaklıklarına Göre R-22 ve Alternatif Olan Soğutucu Akişkanların Karşılaştırılması, *KSÜ Fen ve Mühendislik Dergisi*, 10(1), 77-84.
- Özgür, A.E., Bayrakçı, H.C., 2010, CO<sub>2</sub> Soğutucu Akişkanlı Isı Pompalarında Soğutucu Akişkan Çıkış Sıcaklığının Ekserji Verimine Etkisi, *Isı Bilimi ve Tekniği Dergisi*, 30(1), 73-78.



**Recai ALKAN**, 1987 yılında Antalya'da doğdu. İlk ve orta öğrenimini Antalya'da tamamladıktan sonra lisans öğrenimini Süleyman Demirel Üniversitesi Teknik Eğitim Fakültesi Tesisat Öğretmenliği bölümünde tamamlamıştır. 2011 yılında Süleyman Demirel Üniversitesi Teknoloji Fakültesi Enerji Sistemleri Mühendisliği Bölümünde yüksek lisans eğitimi başlamış ve halen eğitimi devam etmektedir.



**Ahmet KABUL**, 1975 yılında Isparta'da doğdu. İlk ve orta öğrenimini Isparta'da tamamladıktan sonra yüksek öğrenimini Süleyman Demirel Üniversitesi Teknik Eğitim Fakültesi Tesisat Öğretmenliği bölümünde tamamlamıştır. 2001-2008 yılları arasında Süleyman Demirel Üniversitesi Teknik Eğitim Fakültesi Makine Eğitimi Bölümünde Araştırma Görevlisi olarak çalışmıştır. Yüksek lisans ve doktora eğitimini aynı üniversitede tamamladıktan sonra halen teknoloji Fakültesinde Öğretim Üyesi olarak görev yapmaktadır.



**Önder KIZILKAN**, 1978 yılında Isparta'da doğdu. Orta öğrenimini Ankara'da lisans eğitimi Süleyman Demirel Üniversitesi Teknik Eğitim Fakültesinde tamamlamıştır. 2002 yılında, Süleyman Demirel Üniversitesi Teknik Eğitim Fakültesi Makine Eğitimi Anabilim Dalında Araştırma Görevlisi olarak görev yapmıştır. Yüksek lisans ve doktora eğitimini aynı üniversitede tamamladıktan sonra halen teknoloji Fakültesinde Öğretim Üyesi olarak görev yapmaktadır.